

Het  
u gp

I-1292

1953.

$\text{Li}^+$ ,  $\text{He}^{2+}$ ,  $\text{Be}^{2+}$ ,  $\text{B}^{3+}$ ,  $\text{C}^{4+}$ ,  $\text{N}^{5+}$ ,  $\text{O}^{6+}$  (I)

Chandrasekhar S., Albert D., Herzberg G.

Phys. Rev. 1953, 91, 1 S, 1272-1273 (ans.)

Shift of the  $1^3S$ -state of helium.

PK, 4094, II D, 35523.

10

$\text{He}^+$

Красное  
небо.

B90 - 55-51-2

Blane L.

1962

Blane D. et. al.

"J. Phys. Radiat."

1962, 13, 219-22.

1968

He<sup>+</sup>

ЗД51. Ионизация He электронами вблизи порога.  
K r i g e G. J., G o r d o n S. M., H a a g h o f f P. C. Ionization of helium near threshold by electron impact. «Z. Naturforsch.», 1968, 23a, № 9, 1383—1385 (англ.)

С помощью метода разности задерживающих потенциалов получена кривая эффективности ионизации He и CO вблизи порога. Показано, что кривая эффективности ионизации гелия нелинейна по крайней мере до 2 эв выше порога.

А. Додонов

исследование  
учеб

9. 1969. ЗД

1969

C<sub>1</sub> (He I, He II, N I, N II, N III)

New (N I, N II) 1113 XI 195

C<sub>1</sub>

Gizler R, Korwin L, Dzouin R

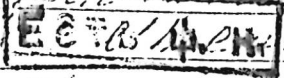
Classical Phys., 1969, 4<sup>th</sup>, n<sup>o</sup> 3, 859-65

(43)

Spécificité sélective d'ions grecs à l'acide

chlorhydrique dans le système  $\text{Ca}^{2+}-\text{P}_2\text{O}_7-\text{H}_2\text{O}$ .

Application à la détermination des formes et de l'état des phosphates.



Paris, 1969. 10 octobre. 10

(43)

$\text{He}^+$

1941

E. Soffer &

Z. Phys., 1941, 249,

N 1, 43.

Определение времени  
перехода 3P-состоинания  
 $\text{He}^+$  во излучающее  
радиоактивных состояний

PMQ,

1942.5.280

1941

# He II

Q - see

see above

10310/m Stark-profile measurements for the first four  $n-\alpha$  lines of ionized helium. Jones, L. A.; Greig, J. R.; Oda, T.; Griem, Hans R. (Univ. Maryland, College Park, Md.). *Phys. Rev. A* 1971, [3]4(3), 833-8 (Eng). By using an electromagnetically driven *T* tube as a source, the profiles of the He II 304-Å ( $n = 2$  to 1), He II 1640-Å ( $n = 3$  to 2), He II 4686-Å ( $n = 4$  to 3), and He II 10,123-Å ( $n = 5$  to 4) lines were scanned and compared with Stark-broadening theory. The plasma conditions correspond to electron temp. from 4 to 5 eV and electron ds. from  $1 \times 10^{17}$  to  $3 \times 10^{17}$  cm $^{-3}$ . Agreement of measured relative intensities with theory is typically within  $\sim 30\%$ , provided a distinction is made between absorption and emission line shapes of the resonance line in a singly-ionized He plasma.

C. A. 1941. 75.16

He II

1972

2 Д317. Определение постоянной Ридберга из комплекса линий  $\text{He } n=3-4$  (4686 Å). Kessler E. G., Jr.  
Determination of the Rydberg constant from the He II  
 $n=3-4$  (4686 Å) line complex. «Atom. Masses and Fun-  
dam Constants. 4». London-New York, 1972, 427—434  
(англ.)

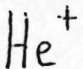
По длинам волн хорошо разрешенных компонент тон-  
кой структуры перехода  $n=3-4$  (4686 Å) в He II из-  
мерена постоянная Ридберга. Спектр He возбуждался  
в охлаждаемом жидким азотом полом катоде с двой-  
ным анодом и анализировался предварительным моно-  
хроматором с двумя эталонами Фабри—Поро, поме-  
щеннымными в камеры с различным давлением. Приводится  
подробное описание эксперим. установки и методики  
измерений. Использовались два способа: компоненты  
тонкой структуры He II сравнивались со стандартными

постоян.  
Ридберга

1974 № 2

линиями при перемещении прохождении решеточного предварительного монохроматора и эталонов, и во втором случае свет от лампы и полого катода попеременно проходили через прерыватель, и стандартная и неизвестная длины волн регистрировались одновременно. Подробно обсуждаются преимущества и недостатки каждого метода. Полученное первым способом значение постоянной Ридберга равно  $109\ 737,314 \pm 0,055$  см<sup>-1</sup> и хорошо согласуется с результатом, полученным из измерений длин волн перехода  $n=3-2$  (1604 Å) в Не II. О результатах, полученных вторым способом, не сообщается, но предполагается, что точность измерений будет больше.

Л. Гуляева



1973

57880x Theoretical treatment of  $\text{He}_2^+$  molecule. Cirule,  
t.; Bologin, A. B. (V. Kapsukas Vilnius State Univ., Vilnius,  
USSR). *Liet. Fiz. Rinkinys* 1973, 13(1), 63-7 (Russ). The  
total energy of the  $\text{He}_2^+$  mol. in the  $(1\sigma_g)^2(1\sigma_u)^1$  ground state was  
calcd. from a 1-electron model. The wave function was con-  
structed as a linear combination of the Slater 1s function with a  
parameter obtained from the condition of the total-energy min.  
The bond energy was calcd. as the difference between the total  
energy and the sum of the free-atom energies. The results were  
compared with exptl. data obtained by approx. extrapolations.

Alexandre Fues

min.

rb. met.

pacrim

C.A. 1974. 29 NIO

$\text{He}^+$

1973

11 Д581. Оптическое изучение столкновений с переносом заряда между  $\text{He}^+$  и  $\text{CO}_2$ . Coplan M. A., Mental J. E. Optical study of charge exchange collisions between  $\text{He}^+$  and  $\text{CO}_2$ . «J. Chem. Phys.», 1973, 58, № 11, 4912—4915 (англ.)

$E_i$

Исследовано оптич. излучение в диапазоне 2800—5000 Å, возникающее при столкновении с переносом заряда иона  $\text{He}^+$  с молекулой  $\text{CO}_2$ . Энергия  $\text{He}^+$  изменялась в диапазоне 200—1500 эв. Найдено, что сечение образования ионов  $\text{CO}_2^+$  в состояниях  $A^2\Pi_u$  и  $B^2\Sigma_u^+$  равно  $4 \cdot 10^{-17}$  см $^{-2}$ , что составляет примерно 4% от общего сечения столкновения. Верхние пределы сечения образования ионов  $\text{CO}^+$  в состояниях  $A^2\Pi_1$  и  $B^2\Sigma^+$  равны  $4 \cdot 10^{-19}$  и  $8 \cdot 10^{-18}$  см $^{-2}$  соответственно. Наблюдались также триплетные линии Не с сечением образования возбужденных состояний порядка  $10^{-19}$  см $^{-2}$ .

(+1)  $\text{CO}_2^+$

Х. 1973 № 11

# He II

1973

9 Д144. Измерение константы Ридберга на переходах  $n=3-4$  в He II. Kessler E. G., Jr. Determination of the Rydberg constant from the He II  $n=3-4$  (469-nm) line complex. «Phys. Rev. A: Gen. Phys.», 1973, 7, № 2, 408—415 (англ.)

По абр. измерениям длин волн 2-х компонент тонкой структуры переходов  $n=3-4$  в He II определена константа Ридберга  $R_\infty = 109737,3208 \pm 0,0085 \text{ см}^{-1}$ . Приведена схема и описание эксперим. установки, в которой использовались полые катоды, охлажденные жидким азотом, а также сканирующий интерферометр Фабри—Перо для сравнения длин волн переходов в He II со стандартным источником  $^{198}\text{Hg}$ . Измерения проводились по наиболее сильным компонентам  $3P_{3/2}-4D_{5/2}$ ,  $3D_{3/2}-4F_{5/2}$ ,  $3D_{5/2}-4F_{7/2}$ . Обсуждаются возможные причины погреш-

9. 1973 № 9

ности измерений, связанные с неопределенностью в стандартах длин волн, коэф. отражения, диафрагмирования, а также связанные с использованием врачающегося фильтра. Библ. 22.

В. П. Шевелько

$H_2^+$ ;  $H_2$ ;  $He^{2+}$ ;  $H_3^+$  (u.n., pacröm)  $\bar{x} \approx 3802$  1973  
Zlaguno C.T., Gupta S.K., Rothstein S.H.,  
Jut. J. Quantum. Chem., 1973, 7, N4,  
819-34 (ann.)

Molecular orbital studies on small  
molecules using molecular cyclo-  
xygen (+) ion type elliptical basis  
orbitals. Application to molecular  
cycloxygen (+) ion, molecular helium  
and helium (2+) ion, and triatomic hyd-  
rogen ion. (1973, 79, N2), 133865k

1974

He II

Jonathan Neville,  
Morris A., et al.

u.n.

J. Chem. Soc. Faraday  
Trans 2 1974, 70(1)  
1810-17 (Eng)

(all  $O_2^+$ ; III)

Номер и учёбр. си. листов

61120.4221

Ph, TG

42529

1976

He ( $\bar{1}$ )

4830

Greene R.L. Stark broadening  
of the 1640- and 4686-Å lines of ionized  
helium. "Phys. Rev. A: Gen. Phys.", 1976,  
14, N 4, 1447-1451  
(аэра.)

077.0 ник

751 755

7.6 3

ВИНИТИ

1976

He( $\bar{\nu}$ )

8 Д543. Инверсная заселенность относительно основного состояния атома или иона в быстро охлаждаемой плазме. Green J. M., Silfvast W. T. Population inversions with respect to the ground level of an ion or atom by the rapid cooling of a plasma. «Appl. Phys. Lett.», 1976, 28, № 5, 253—255 (англ.)

С помощью метода охлаждения лазерной плазмы для получения инверсии относительно основного состояния, предложенного Гудзенко и Шелепиным (РЖФиз, 1964, 4Г178) для случая водородной плазмы, исследованы условия получения инверсной среды на переходе HeII ( $2p^2P - 1s^2S$ ),  $\lambda = 304 \text{ \AA}$ . Приведены вычислённые кривые зависимости электронной температуры от плотности гелиевой плазмы, а также зависимости плотности инверсных ионов от времени охлаждения. Обсуждается выбор оптимальных условий для получения инверсии на переходе HeII  $2p - 1s$ . Библ. 13. В. П. Шевелько

Ф.1976 №

$\text{He}^+$   
 $\text{He}^{2+}$

Митишев 4691

1976

2 Г1. Об ионизационном равновесии в гелии. Nagaiah Udit, Jain N. K., Chandra Suresh. On ionization equilibrium of helium. «Z. Naturforsch.», 1976, 31a, № 6, 565—568 (англ.)

Исследовалось ионизационное равновесие в He при использовании современных данных о коэф. скорости ионизации и модифицированного выражения для коэф. скорости 2-электронной рекомбинации. Полученные температурные зависимости относят. конц-ий He,  $\text{He}^+$  и  $\text{He}^{2+}$  существенно отличаются от предсказываемых теорией, не учитывающей 2-электронной рекомбинации. Напр., максимум содержания  $\text{He}^+$  имеет место при т-рах 0,55—0,70 эв, а не при 0,6—0,675 эв, как это предсказывалось ранее. Т. обр., учет 2-электронной рекомбинации уширяет максимум температурного распределения  $\text{He}^+$ .

В. Е. Скурат

иониз.  
равновес.

Ф. 1977 № 2

$\text{He}^+$

1977

(Ei)

87: 46183m Detection of the  $6\ D_{5/2}$ - $6\ S_{1/2}$  double quantum transition in ionized helium. Eibesner, A. (Phys. Inst., Univ. Tuebingen, Tuebingen, Ger.). *Phys. Lett. A* 1977, 61A(3), 159-61 (Eng). The  $D_{5/2}$ - $S_{1/2}$  double quantum radio-frequency transition in the  $n = 6$  state of  $\text{He}^+$  was obsd. by using electron impact excitation in a He atm. The results suggest that it should be possible to make measurements of suitable energy intervals in  $\text{He}^+$  with a precision of  $\sim 1$  part in  $10^5$  with this method. The  $\text{He}^+$  states were populated by electrons (300.eV; 0.5-8 mA) in a He atm. (10 mtorr). The radio-frequency was varied from 4030 to 4110 MHz in a zero magnetic field.

C.A. 1977. 87, v6

$\text{He}^+$

ommuch 5777

1977

$(\text{A}_{\text{H}}^+; \gamma)$

Huntress W.T., Jr.

Astrophys. J. Suppl. Ser.,  
1977, 33, (4), 495-514.

(corr.  $\text{H}^+; \underline{\text{II}}$ )

$\text{He}^+$

$\text{Ne}^+$

$\text{Ar}^+ + \text{O}_2, \text{H}_2\text{O}$

$\text{Kr}^+$

$\text{Xe}^+$

ommeca 9236

1979

Marsé P., et al.

Z. chim. phys. et phys.  
chim. biol., 1979, 75

(11-12), 1074 - 82

Echange de charge à énergie thermique entre ions de gaz rares et molécules  
simples.

$\text{He}^+$

1979

частот  
(γ)

(45)

8 Б94. Изучение пенниговой ионизации методом электронной спектроскопии. Yencha A. J. Penning ionization processes studied by electron spectroscopy. «Сицурё бунсэки, Hass Spectrosc.», 1979, 27, № 3, 135—156 (англ.)

Обзор, посвященный изучению взаимодействия между частицами при пенниговой ионизации (ПИ) с помощью сравнения энергетич. спектров электронов, испускаемых атомами или молекулами в процессе ПИ и photoионизации излучением He-I или He-II. Отмечены три основных различия: интенсивности и ширины пиков при ПИ могут значительно превышать соотв-щие величины для photoионизации; положения пиков в спектрах ПИ обычно сдвинуты в сторону меньших энергий по

X. 1980 № 8

сравнению с пиками фотоэлектронных спектров. Рассмотрена теория ПИ, к-рая может быть использована для качеств. интерпретации эксперим. данных. Показано, что характер спектров ПИ в основном определяется формой потенциала взаимодействия между реагирующими частицами и между продуктами реакции. При малых взаимодействиях в обоих каналах р-ции спектра ПИ и photoионизации идентичны. На основе этих результатов рассмотрены эксперим. данные по ПИ  $\text{He}^+$  молекул  $\text{CO}$ ,  $\text{HBr}$ ,  $\text{COS}$ ,  $\text{NO}_2$ ,  $\text{H}_2\text{O}$ . Библ. 42.

О. А. Басченко

$\text{He}^+$

1981

(2i). Galan, Manuel, et al.  
Phys. Rev. A. 1981, 23 (4).  
1624-31.



(cu. Li; III).

М22т

(OM. 32403)

1989

Чауке А. Я., Тегиевов В. Н.,

Мороз Техн. и эксперим. исслед.,  
расп. 1989, 25, № 4, 467-471.

Учет ортогональности при  
оптимизирующем базисе для  
мерзлых грунтов с будущими

СОСТОЯНИЕ МОДЕЛЕЙ.

1995

F: He4+

P: 3

Б178. Метастабильное квартетное состояние  $\text{He}[4]\{+\}$ . The metastable quartet state of  $\text{He}[4]\{+\}$  / Knowles Peter J., Murrell John N. // J. Chem. Phys. - 1995. - 102, N 23. - С. 9442-9443. - Англ.

эмпирическим методом ССП МО ЛКАО в базисе  $5s4p2d$  с учетом электронной корреляции методом связанных кластеров (до тройных возбуждений) исследовано низшее квартетное состояние  $e[4]\{+\}$ . а основании полученных энергии связи, равновесной геометрии (делокализованная структура симметрии  $D[2d]$ ) и электронного спектра интерпретированы эксперим. данные для этого стабильного кластера.

Р. Ж.Х. N6, 1996

1999

F: He<sup>2+</sup>

P: 3

131:329106 First Measurement of the Rotational  
Constants for the Homonucl Molecular Ion He<sup>2+</sup>.

Coman, L.; Guna, M.; Simons, L.; Hardy, K.

A. Physics Department, Florida International  
University Miami, FL 33199, USA Phys. Rev.  
Lett., 83(14), 2715-2717 (English) 1999 The  
velocity of the dissociative recombination final  
product state atoms was used to measure the

rotational consts.  $B_v$  and  $D_v$  of the  $v = 3$  level is  
The energy of the  $v = 3$  level in  $\text{He}^{2+}$  also was measured and from this measurement, along with existing spectroscopic consts., the binding energy of  $\text{He}^{2+}$  was detd. The authors find  $D_{00} = 2.4457 \pm 0.0002$  eV,  $B_v = 6.4 \pm 0.2 \text{ cm}^{-1}$ , and  $D_v = -7.1 \times 10^{-4} \pm 0.0004 \text{ cm}^{-1}$ . These measurements demonstrate a new method of measurement of some mol. consts. that has acc comparable to optical spectroscopy.